

移動床開水路の抵抗則に関する一考察

京大 防災研究所 正 芦田和男
 舞鶴工業高等専門学校 正 田中祐一郎
 京大 大学院 学 木村昌弘

1. はしがき： 本研究は移動床実験により形成された砂連を固定したものと、トタン板による一次元的な砂連模型（波高 2.8 cm、波長 90 cm, $d_{in} = 0.9 \text{ mm}$ の砂を付着）とを用い、その上の流速分布の特長等について若干の実験的考察を行ない、その結果をもとにしたモデルによる抵抗算定式を導き、その適用性について若干の検討を行なったものである。

2. 砂連上の流速分布： 図-1 は砂連の一波長間ににおける流速分布の縦断的変化を示した一例である。測定番号に図-4 に示すものに対応する。クレストで生じた剥離域の影響による流速分布の歪が徐々に回復して後、様子を見ることができる。図-2 は河床面上 2 mm の高さの流速を reattachment point を基準とした河床高との関連を示したもので、 U/U_c なる関係が認められる。これは Raudkivi が用いた T/c (T : 底面剪断力) の仮定の妥当性を示している。図-3 は各点での流速分布を半対数紙上に点描したもので、図に見られるように折曲点が存在する。断面 5 (クレストから 5 cm 下流で剥離域のほぼ末端) における流速分布は 2 つの領域 A (上部) と B (下部) とに分けられるが、断面 10 ~ 60 にかけては河床面近くから新たな領域 C が発生する。断面 50 より下流では領域 A は消滅し、断面 80 に至り領域 B と C は統合され、平滑面上の流速分布のパターンとなる。領域 A, B, C はこれらが、剥離の影響の及ばない領域、剥離による渦の拡散域および reattachment point から下流で壁面の存在により新たに境界層の発達する領域を示しているものと思われる。図-4 は各領域の境界線 (折曲点) を示したもので、Allen が砂連の前面で生じる流れの実験から得た拡散角度とほぼ一致している。また Raudkivi も砂連上の流れと段落ち部の流れの実験の対比より両者の類似性を指摘しており、剥離域の形成とそれによる渦の拡散等この近傍の流れは共に half-jet として同様のものと考えよいものと思われる。

3. 抵抗係数の算定法： 抵抗係数の算定は相当粗度 k_s を取り扱う方法と形状抵抗と摩

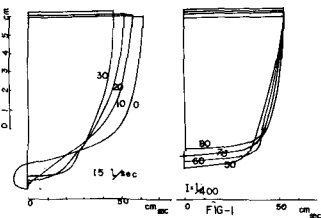


図-1 流速分布図

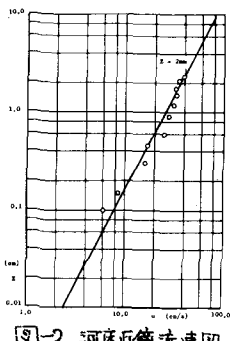


図-2 河床直傍流速図

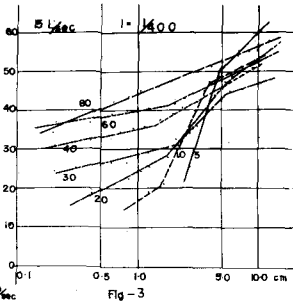


図-3 対数分布図

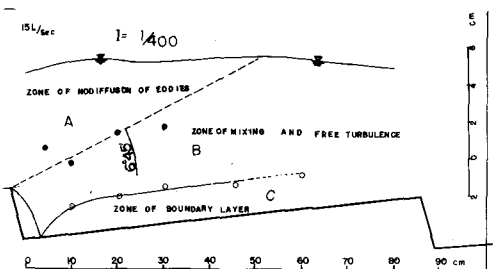


図-4 領域区分図・記号説明図

摩擦抵抗の二つに分離する方法がある。以下、後者の方法によって若干の検討を行なう。

(a) 形状抵抗 前述のように砂渾の上の流れは段落ち流れと考えてよいので、段落ち流れの損失水頭を求める方法を用いる。図-5のように記号をとり、1~2断面間での運動量およびエネルギーの保存を考えると、

$$W(h_1+H)^2 + 2PB_1U_1^2h_1 = Wh_2^2 + 2PB_2U_2^2h_2 \quad (1)$$

$$h_{\alpha} = (H + h_1 + d_1 U_1^2/2g) - (h_2 + d_2 U_2^2/2g) \quad (2)$$

$$\text{連続式は } h_1U_1 = h_2U_2 = h_mU_m = \alpha \quad (3)$$

$$h_m = (h_1 + h_2)/2, \quad h_1/h_m = \gamma_1, \quad H/h_m = K \quad (4)$$

よき、(3), (4)式を(1)式に代入すると次のようになる。

$$2(2+K)\gamma_1^3 + (K^2 - 4K - 12)\gamma_1^2 + 2[4 - K^2 + F_m^2(\beta_1 + \beta_2)]\gamma_1 - 4\beta_1 F_m^2 = 0 \quad (5)$$

$$= z \quad a = \frac{K^2 - 4K - 12}{2(2+K)}, \quad b = \frac{4 - K^2 + F_m^2(\beta_1 + \beta_2)}{2+K}, \quad C = -\frac{2\beta_1 F_m^2}{2+K} \quad (6)$$

$$P = \frac{a^2}{3} - b \quad \gamma = \frac{a^3}{27} - \frac{ab}{3} + C$$

よく、(5)式の根として γ は次のように求まる。

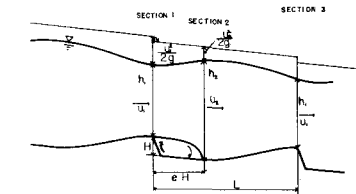


図-5. 記号説明図

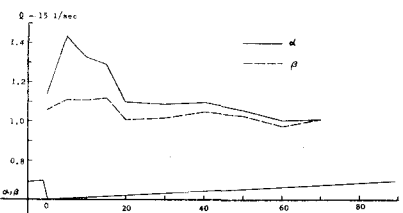


図-6. α, β の場所的変化

$$\gamma_1 = -\frac{a}{3} + 2\sqrt{\frac{P}{3}} \cos \frac{\Psi}{3}, \quad \gamma_2 = -\frac{a}{3} + 2\sqrt{\frac{P}{3}} \cos \left(\frac{\Psi}{3} + \frac{2\pi}{3}\right), \quad \gamma_3 = -\frac{a}{3} + 2\sqrt{\frac{P}{3}} \cos \left(\frac{\Psi}{3} + \frac{4\pi}{3}\right) \quad (7)$$

$$z = 1 = \cos \Psi = \frac{1}{2} \alpha / \frac{1}{3} P \sqrt{P/3} \quad (8)$$

(3), (4)式を(2)式に代入すると次式を得る。

$$h_{\alpha} = \frac{U_m^2}{2g} \left\{ \frac{2}{F_m^2} (K - 2 + 2\gamma) + \frac{d_1}{\gamma^{1/2}} - \frac{d_2}{(2-\gamma)^{1/2}} \right\} = \frac{U_m^2}{2g} \Delta (F_m, K) \quad (9)$$

$= z$ $d_1, d_2, \beta_1, \beta_2$ はそれぞれ 1, 2, 断面におけるエネルギーおよび運動量補正係数であり、実測による総断面変化を図-6 に示す。この結果 $d_1 = d_2 = 1.1, \beta_1 = \beta_2 = 1.05$ を以下に使う。

(b) 摩擦抵抗 図-2 によると ψ は x に比例する。したがって ψ は x 方向に直線的に増加するところであるが、これは模型として三角形状を用いたことによる。図-4によれば河床面の境界層厚は reattachment point から急激に増加し、やがて一定となるよう x に近づくほど対数則が成立する。そこで摩擦抵抗 ψ は平滑河床の対数則を用いることにすると、

$$\psi = U_m/U_* = 6.0 + 5.75 \log h_m/d_m \quad (10)$$

剥離域の長さをいま $l_p = \epsilon \cdot H$

$$\text{とする。 } l_p = i + (L - l_p) = \frac{L - \epsilon \cdot H}{8h_m} \quad (6.0 + 5.75 \log h_m/d_m)^2 \quad (11)$$

となる。

$$i_e = (h_{\alpha} + h_f)/L \quad (12)$$

$$U_m/U_* = \psi \text{ すると } i_e = (U_m/h_m) \cdot (1/\psi^2) \quad (13)$$

$$\text{だから } 1/\psi_e^2 = 1/\psi_e^2 + 1/\psi_f^2 \quad (14)$$

$$\text{となる。 } z = 1 = 1/\psi_e^2 = (\zeta/2)(h_m/L) \quad (15)$$

$$1/\psi_f^2 = (1 - \epsilon \cdot H/L)/(6.0 + 5.75 \log h_m/d_m)^2 \quad (16)$$

図-7 は(15)式による計算値と実測値を比較したものである。図-7 ψ の計算と実測の比較および砂渾の形成機構と形状特性(K の予知)については別途に研究する必要がある。

